

بررسی عملکرد تیر پیوند قابهای با مهاربندهای واگرای کمانش‌پذیر و کمانش تاب

آرش حسین شاهی

دانشجوی کارشناسی ارشد سازه، واحد پروفسور حسابی، دانشگاه آزاد اسلامی، تفرش، ایران
ابوذر صالح*

استادیار گروه عمران، واحد پروفسور حسابی، دانشگاه آزاد اسلامی، تفرش، ایران

aboozar.saleh@gmail.com

تاریخ دریافت: ۹۷/۰۱/۲۷ تاریخ پذیرش نهایی: ۹۷/۰۳/۲۹

چکیده:

با توجه به اینکه کشورمان در یکی از مناطق لرزه‌خیز جهان واقع شده است، همواره احتمال رخداد زلزله‌های قدرتمند در مناطق مختلف آن دور از انتظار نیست. طی سالیان گذشته محققین سیستم‌های مختلفی جهت جذب و اتلاف انرژی زلزله در سازه‌ها پیشنهاد داده‌اند که در این راستا مهاربندهای کمانش تاب مورد توجه مهندسین بوده است. هدف این تحقیق بررسی رفتار تیر پیوند کوتاه در قاب‌های فولادی با مهاربندهای کمانش‌پذیر و کمانش تاب می‌باشد. بدین منظور سه سازه‌ی $3 \times 6 \times 9$ طبقه با مهاربندهای کمانش‌پذیر و کمانش تاب براساس آیین‌نامه‌های معتبر طراحی و کلیه‌ی ضوابط لزمای نیز کنترل شده است. در ادامه قاب دو بعدی کناری آن‌ها با مهاربندهای واگرای نرمافزار SeismoStruct 2016 مدل شده است. به منظور بررسی رفتار تیر پیوند از تحلیل‌های استاتیکی غیر خطی و تاریخچه زمانی تحت ۳ زلزله‌ی دور از گسل و خاک نوع ۲ استفاده شده است. در ادامه نتایج نیروی برشی و لنگر خمسمی تیر پیوند و منحنی‌های تحلیل‌های استاتیکی غیر خطی قاب‌ها در دو حالت با مهاربندهای کمانش‌پذیر و کمانش تاب مقایسه شده است. نتایج تحلیل استاتیکی غیر خطی نشان می‌دهد لنگر و برش در تیر پیوند با مهاربندهای کمانش تاب می‌تواند بترتیب تا 38 و 50 درصد بیش از قاب با مهاربندهای کمانش‌پذیر می‌باشد. تحلیل‌های غیر خطی تاریخچه زمانی نیز رشد بیشتری از نیروهای تیر پیوند در قاب با مهاربند کمانش تاب نسبت به تحلیل استاتیکی غیر خطی نشان می‌دهد.

کلید واژگان: مهاربندهای کمانش تاب، تیر پیوند، تحلیل استاتیکی غیر خطی، تحلیل تاریخچه زمانی، نرمافزار

۱- مقدمه

موفق می‌باشد [۸]. گو و همکاران در سال ۲۰۱۴ در زمینه‌ی اثر پارامترهای مختلف مدل مهاربند کمانش تاب روی پاسخ‌های لرزه‌ای سازه‌ها و حساسیت این پاسخ‌ها به پارامترهای مختلف مطالعه کردند [۹]. پالمر و همکاران در سال ۲۰۱۴ رفتار قاب‌های با مهاربندهای کمانش تاب صفحه‌ای و سه بعدی را تحت بار سیکلی و آزمایشگاهی مطالعه کردند. آن‌ها نتیجه گرفتند که رفتار مهاربند کمانش تاب و میزان آسیب‌ها در سیستم قاب مورد استفاده در مقایسه با حالت به تنهایی و تحت بار محوری کاملاً متفاوت است و این مساله می‌تواند به نوع اتصالات مربوط گردد [۱۰]. دلیلی و مهدوی پور در سال ۲۰۱۶ در زمینه‌ی ارزیابی احتمالاتی نیاز لرزه‌ای دریافت پسماند قاب‌های مهاربندی شده با المان‌های کمانش تاب مطالعه شده است. در این مطالعه بیان شده است که مهاربندهای کمانش تاب به تنهایی به دلیل تنش تسیلیم پایین‌تر هسته‌ی مهاربند زودتر تسیلیم شده و متحمل کرنش‌های پسماند بزرگتری می‌شوند. در این تحقیق با تعریف قاب‌هایی با مهاربندهای کمانش تاب دوگانه این مشکل و نقطه ضعف این قاب‌ها بررسی شده است [۱۱]. ماوریا و همکاران در سال ۲۰۱۶ مهاربندهای کمانش تاب کوچکی با تنش تسیلیم هسته‌ی کوچکتر و طول کوتاه پیشنهاد کردند که می‌توانند در سازه به عنوان فیوز و میراگر به کار روند [۱۲]. شن و همکاران در سال ۲۰۱۷ عملکرد لرزه‌ای قاب‌های با مهاربندهای هم محور را با و بدون مهاربندهای کمانش تاب مطالعه کردند. نتایج تحقیق نشان داده است که قاب‌های با مهاربندهای کمانش تاب دریفت‌های پسماند را کنترل نموده و ظرفیت تسیلیم و فروریزش سازه را افزایش داده‌اند [۱۳]. اوزجلیک و همکاران در سال ۲۰۱۷ مهاربند کمانش‌تابی با شرایط اتصال متفاوت را به صورت تستهای آزمایشگاهی پیشنهاد کردند. نوآوری این تحقیق ایجاد محدودیت‌های بیشتر در بخش‌های مختلف اتصال مصالح به هم می‌باشد. این قیود باعث کاهش نقص‌های موضوعی و کمانش‌های آنی در بعضی بخش‌های مهاربند می‌گردد [۱۴]. سازنیگ و همکاران در سال ۲۰۱۸ با بکار بردن آلیاژ حافظه‌دار در قاب‌های با مهاربندهای شورون هشتی کمانش تاب، عملکرد قاب‌های با مهاربندهای کمانش تاب در دو حالت با و بدون آلیاژ حافظه‌دار را مطالعه کردند. در این تحقیق عدم توانایی مهاربندهای کمانش تاب در مهار دریفت‌های پسماند بیان شده است، همچنین از توانایی این مهاربندهای در کاهش دریفت طبقات تحت تحلیل‌های لرزه‌ای عنوان شده است [۱۵]. با وجود مطالعات مختلف در زمینه‌ی رفتار تیرپیوند در مهاربندهای واگرا و کمانش تاب انجام نشده است. در این تحقیق رفتار تیرپیوند در قاب‌های مهاربندهای واگرا، رفتار لرزه‌ای سازه‌هایی با مهاربندهای واگرا و کمانش تاب انجام نشده است. در این تحقیق رفتار تیرپیوند در مهاربندهای واگرا و کمانش تاب در سازه‌های ساختمانی انجام شده است. پیده‌افتا و همکاران در سال ۲۰۱۳، در تحقیق خود یک مهاربند کمانش تاب با سیستمی را که بر حسب نیازهای لرزه‌ای مشخصاتش تغییر می‌نماید، ارایه کردند. در این تحقیق بیان شده است که نیروی تسیلیم و تغییر شکلهای پلاستیک این سیستم جدید بر حسب مشخصات شتاب و رودی و نیازهای لرزه‌ای سازه تغییر می‌کند و در کنترل پاسخ‌های لرزه‌ای

تاب و کمانش‌پذیر می‌باشد.

با رشد و توسعه‌ی شهرهای بزرگ به لحاظ جمعیتی، اقتصادی، سیاسی و اجتماعی، آسیب‌پذیری این شهرها در مقابل زمین‌لرزه‌های مخرب عواقب جبران‌ناپذیری برجای خواهد گذاشت. صدمات جانی و مالی گسترده‌ای که در اثر وقوع زلزله در این مناطق متوجه ساختار اجتماعی و اقتصادی کشور می‌شود، ضرورت تلاش همه جانبه را برای کاهش عواقب این رخداد طبیعی ایجاد می‌نماید. یکی از عمده‌ترین فعالیت‌ها در راستای کاهش خطرات ناشی از زلزله و افزایش اینمی عمومی، مطالعات سیستم‌های سازه‌ای مختلف و به روز مانند قاب‌های با مهاربندهای کمانش تاب است. بررسی رفتار غیرخطی سازه‌های سازه‌ای مجhz به این سیستم‌ها از اهمیت ویژه‌ای برخوردار است. در سال ۱۹۷۸ سیستم قاب‌های مهاربندی واگرا موسوم Eccentrically Braced Frames (EBF) توسط پویوف و ریدر پیشنهاد شد [۱]. در سال ۲۰۰۴، ریچاردز و یوانگ طی مطالعه‌ای، به بررسی تحلیلی یک قاب مهاربندی واگرا به منظور توسعه یک آزمایش جدید برای بارگذاری قراردادی تیرپیوند پرداخته‌اند [۲]. در سال ۲۰۰۷، یومن و همکارانش طی مطالعه‌ای بررسی تحلیلی را برای استفاده از اعضای با مقطع مستطیل تو خالی (به عنوان نمونه لوله) به عنوان تیرپیوند قاب مهاربندی واگرا بررسی کردند [۳]. در آینین نامه AISC2005 پیشنهاد شده است که دو سری از آزمایش‌ها بر روی مهاربندها صورت گیرد [۴] سری اول آزمایش‌ها بر روی مهاربند به صورت تنها صورت گرفته است، به طوری که رفتار محوری آن‌ها مورد مشاهده دقیق قرار گرفته است و پارامترهای مورد نیاز در طراحی آن‌ها حاصل شده است. سری دوم آزمایش‌ها بر پایه به کارگیری مهاربند BRB در قاب ساختمانی بوده است. در تعدادی حالات فقط دهانه‌ی مهاربندی و در بعضی دیگر همه دهانه‌های قاب مورد نظر ساخته و آزمایش شده است. در این آزمایش‌ها رفتار مهاربند در قاب مورد توجه بوده است. نخستین مطالعات آزمایشگاهی بر روی مهاربند کمانش تاب در دهه ۱۹۸۰ میلادی در این انجام شد. اولین آزمایش‌های صورت گرفته بر روی BRB‌ها توسط واتانابه گزارش شده است [۵]. در این آزمایش‌ها تمامی مهاربندها دارای هسته فولادی یکسان بوده و تنها شکل غالاف فولادی آن‌ها با یکدیگر تفاوت داشته است. در سال ۲۰۰۲ چن آزمایش‌هایی بر روی مهاربندها با استفاده از میز لرزان در ژاپن انجام داد [۶]. در سال ۲۰۰۴ مهین آزمایشات گسترده‌ای را بر روی ۱۲ مهاربند BRB انجام داد. هدف از انجام این آزمایش‌ها بررسی تاثیر اضافه کردن مهاربند کمانش تاب در بهبود رفتار هیسترسیز قاب خمشی فولادی بوده است [۷]. در سال‌های اخیر نیز مطالعات مختلفی در زمینه‌ی کاربرد مهاربندهای کمانش تاب در سازه‌های ساختمانی انجام شده است. پیده‌افتا و همکاران در سال ۲۰۱۳، در تحقیق خود یک مهاربند کمانش تاب با سیستمی را که بر حسب نیازهای لرزه‌ای مشخصاتش تغییر می‌نماید، ارایه کردند. در این تحقیق بیان شده است که نیروی تسیلیم و تغییر شکلهای پلاستیک این سیستم جدید بر حسب مشخصات شتاب و رودی و نیازهای لرزه‌ای سازه تغییر می‌کند و در کنترل پاسخ‌های لرزه‌ای

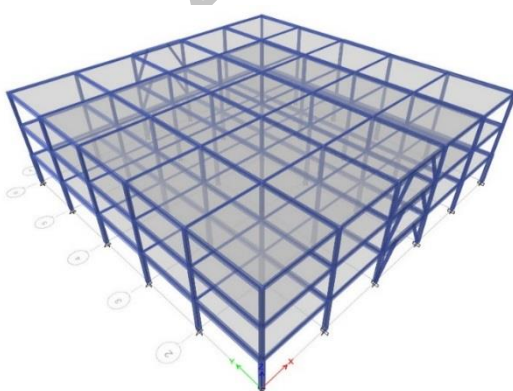
۲-۲- مدل سازی و بارگذاری

در این تحقیق سازه‌های ۳، ۶ و ۹ طبقه به صورت سه بعدی در نرم‌افزار ETABS مدل سازی و طراحی شده‌اند. آیین‌نامه طراحی مورد نظر، AISC-360-010 و ضوابط لرزه‌ای بر اساس استاندارد ۲۸۰۰ ویرایش چهارم کنترل شده است. سیستم مقاوم جانبی، قاب ساده فولادی با مهاربند و اگرای کمانش پذیر و در حالت دوم قاب ساده فولادی با مهاربند و اگرای کمانش تاب می‌باشد. در مدل‌های مورد نظر عرض همه دهانه‌ها ۵ متر و ارتفاع طبقات ۳ متر می‌باشد. طول تیرهای پیوند ۲ متر و طول مهاربندها ۳،۳۵ متر می‌باشد. پس از طراحی مدل‌ها، قاب کناری سازه‌ها استخراج و در نرم‌افزار SeismoStruct مدل سازی شده‌اند. شکل ۱ سازه‌های مورد نظر را نشان می‌دهد. به منظور بارگذاری سازه‌ها از مبحث ششم مقررات ملی استفاده شده است. بار مرده کفها ۷۵۰ کیلوگرم بر متر مربع در نظر گرفته شده است. بار مرده سقف ۶۰۰ کیلوگرم بر متر مربع لحظه شده است. بار زنده طبقات ۲۰۰ و بار زنده یام ۱۵۰ کیلوگرم بر متر مربع مربع بوده است. با توجه به اینکه در مدل سازی برنامه SeismoStruct سازه به صورت دو بعدی مدل می‌شود، سهم بارگیر تیرها در جهت عمود بر قاب ۵ متر لحاظ شده است و بار خطی المان‌های تیر مطابق محاسبات ذیر انجام شده است.

$$DL=750*5=3750 \text{ Kgf/m}$$

$$LL=200*5=1000 \text{ Kgf/m}$$

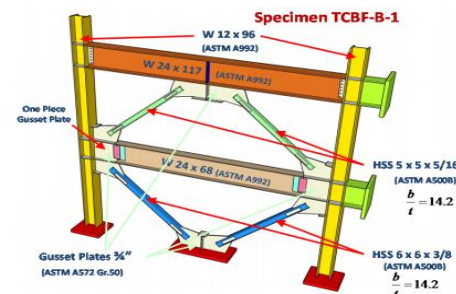
بار مرده تیرهای طبقات: به منظور مطالعه‌ی رفتار تیر پیوند قاب‌ها در دو حالت با مهاربندی‌های کمانش پذیر و کمانش تاب علاوه بر تحلیل‌های استانیکی غیر خطی، از تحلیل‌های تاریخچه زمانی غیر خطی نیز استفاده شده است. بدین منظور از سه زلزله‌ی دور از گسل مطابق جدول ۱ استفاده شده است. زلزله‌های مذکور از پایگاهداده PEER اقتباس شده است و مربوط به خاک نوع ۲ استاندارد ۲۸۰۰ می‌باشد. در این تحقیق مولفه‌ی با شتاب خاک از ۰/۰۵ T می‌باشد. زلزله‌های مورد نظر از ۰/۰۴ T تا ۰/۰۰ T می‌باشند. در بازه ۰/۰ تا ۰/۰۵ T از طیف انتقالی زلزله‌های مورد نظر بر اساس استاندارد ۲۸۰۰ مقایسه شده‌اند تا شدت همه آن‌ها اصلاح گرددند. بر اساس استاندارد ۲۸۰۰ در بازه ۰/۰ تا ۰/۰۵ T از طیف انتقالی زلزله‌های مورد نظر باید بیش از طیف طرح استاندارد باشد. منظور از T پریود مود اول سازه می‌باشد. شکل ۲ نحوه‌ی مقایس شدن زلزله‌های مورد نظر را نشان می‌دهد.



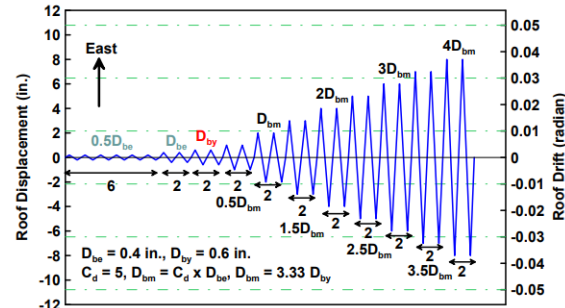
۲- صحت‌سنجی، مدل‌سازی

۱-۱- صحت‌سنجی

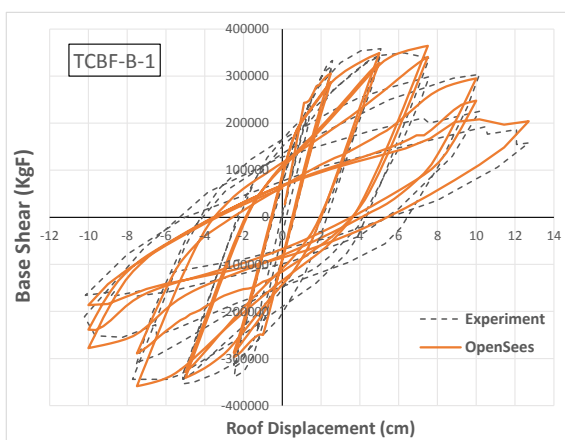
به منظور ارزیابی دقیق روش مدل‌سازی، یک نمونه ۲ طبقه از قاب مهاربندی شده نشان داده شده در شکل ۴ که توسط لای و میهین (۲۰۱۳) به روش شبه استانیکی تست شده است، در نرم‌افزار Seismostruct مدل سازی و تحلیل شده است [۱۶]. شکل ۵ پروتکل بارگذاری چرخه‌ای و شکل ۶ مقایسه‌ی نتیجه‌ی آزمایشگاهی و تحقیق حاضر را نشان می‌دهد. ملاحظه می‌گردد که نتیجه حاصل دقیق خوب مدل ایجاد شده را نشان می‌دهد.



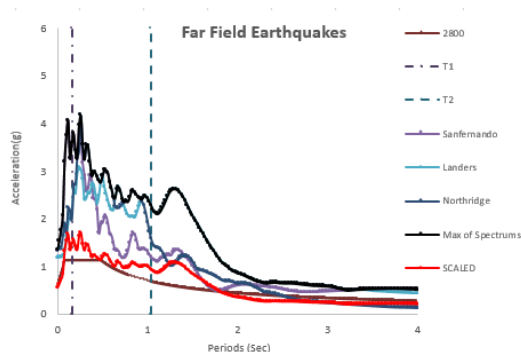
شکل ۴- مشخصات نمونه آزمایشگاهی تست شده توسط لای و میهین [۱۶] (۲۰۱۳)



شکل ۵- پروتکل بارگذاری چرخه‌ای مدل آزمایشگاهی [۱۶]



شکل ۶- صحت‌سنجی نرم‌افزار با مدل آزمایشگاهی [۱۶]



شکل ۲- نحوه مقایس کردن سه رکورد بر اساس استاندارد ۲۸۰۰

جدول ۲ الی ۷ مقاطع طراحی شده المان های تیر و ستون سازه های مورد نظر را نشان می دهد.

جدول ۲- مشخصات مقاطع برای سازه سه طبقه با مهاربند های کمانش پذیر

مقاطع ستون	مقاطع مهاربند	مقاطع تیر	طبقات
Box200x200x12	Box140x140x8	H260	طبقه‌ی اول
Box150x150x12	Box120x120x8	H240	طبقه‌ی دوم
Box150x150x10	Box80x80x8	H220	طبقه‌ی سوم

جدول ۳- مشخصات مقاطع برای سازه سه طبقه با مهاربند های کمانش تاب

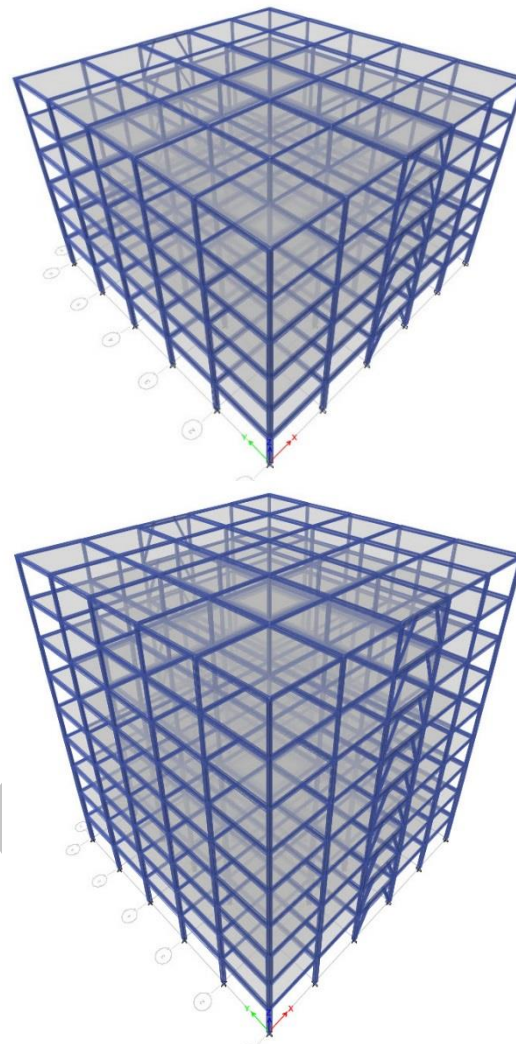
مقاطع ستون	مقاطع مهاربند	مقاطع تیر	طبقات
Box200x200x12	Box140x140x10	H260	طبقه‌ی اول
Box150x150x12	Box140x140x10	H240	طبقه‌ی دوم
Box150x150x10	Box140x140x10	H220	طبقه‌ی سوم

جدول ۴- مشخصات مقاطع برای سازه شش طبقه با مهاربند های کمانش پذیر

مقاطع ستون	مقاطع مهاربند	مقاطع تیر	طبقات
Box240x240x15	Box120x120x10	H260	طبقه‌ی اول
Box200x200x12	Box120x120x10	H260	طبقه‌ی دوم
Box200x200x12	Box90x90x8	H240	طبقه‌ی سوم
Box180x180x12	Box90x90x8	H240	طبقه‌ی چهارم
Box150x150x10	Box80x80x8	H220	طبقه‌ی پنجم
Box150x150x10	Box80x80x8	H220	طبقه‌ی ششم

جدول ۵- مشخصات مقاطع برای سازه شش طبقه با مهاربند های کمانش تاب

مقاطع ستون	مقاطع مهاربند	مقاطع تیر	طبقات
Box240x240x15	Box140x140x10	H260	طبقه‌ی اول
Box200x200x12	Box140x140x10	H260	طبقه‌ی دوم
Box200x200x12	Box140x140x10	H240	طبقه‌ی سوم
Box180x180x12	Box120x120x10	H240	طبقه‌ی چهارم
Box150x150x10	Box100x100x10	H220	طبقه‌ی پنجم
Box150x150x10	Box100x100x10	H220	طبقه‌ی ششم



شکل ۱- سازه های ۳، ۶ و ۹ طبقه فولادی با مهاربند های واگرا در یک راست

جدول ۱- مشخصات زلزله های دور از گسل مورد استفاده در این تحقیق

ردیف	نام	سال وقوع	رخداد	ایستگاه ثبت
۱	سان فرناندو*	۱۹۷۱	لا- هالی وود	
۲	لندرز**	۱۹۹۲	یمو- فایر استیشن	
۳	نورتريج***	۱۹۹۴	بورلی هیلز- مول هول	

* Yermo Fire Station

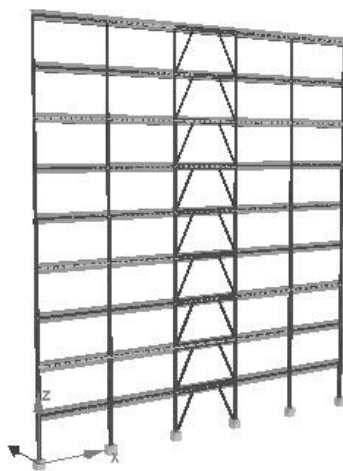
** Northridge

*** Beverly Hills- 14145 Mulhol

* Sanfernando

** LA- Hollywood Stor

*** Landers



شکل ۳- قاب‌های کناری دو بعدی مدل‌سازی شده در نرم‌افزار SeismoStruct

۳. نتایج تحلیل‌ها

تحلیل‌های سازه‌های مورد نظر شامل تحلیل‌های استاتیکی غیر خطی و تاریخچه زمانی تحت ۳ زلزله‌ی معرفی شده می‌باشد. در ادامه نتایج حاصل به تفکیک ارایه می‌شود.

۳-۱- نتایج تحلیل‌های استاتیکی غیر خطی (پوش آور)

با انجام تحلیل‌های استاتیکی غیر خطی قاب‌های دو بعدی ۳، ۶ و ۹ طبقه، خروجی‌های مختلفی جهت مقایسه‌ی رفتار تیر پیوند سازه‌های با مهاربندهای واگرای کمانش‌پذیر و کمانش تاب بدست آمده است. شکل ۷ منحنی‌های برش پایه-جایجاوی بام قاب‌های مورد نظر را نشان می‌دهند. میزان پوش سازه‌ها در تراز بام ۰،۰۴ برابر ارتفاع کل سازه‌ها لحاظ شده است.

جدول ۶- مشخصات مقاطع برای سازه نه طبقه با مهاربندهای کمانش‌پذیر

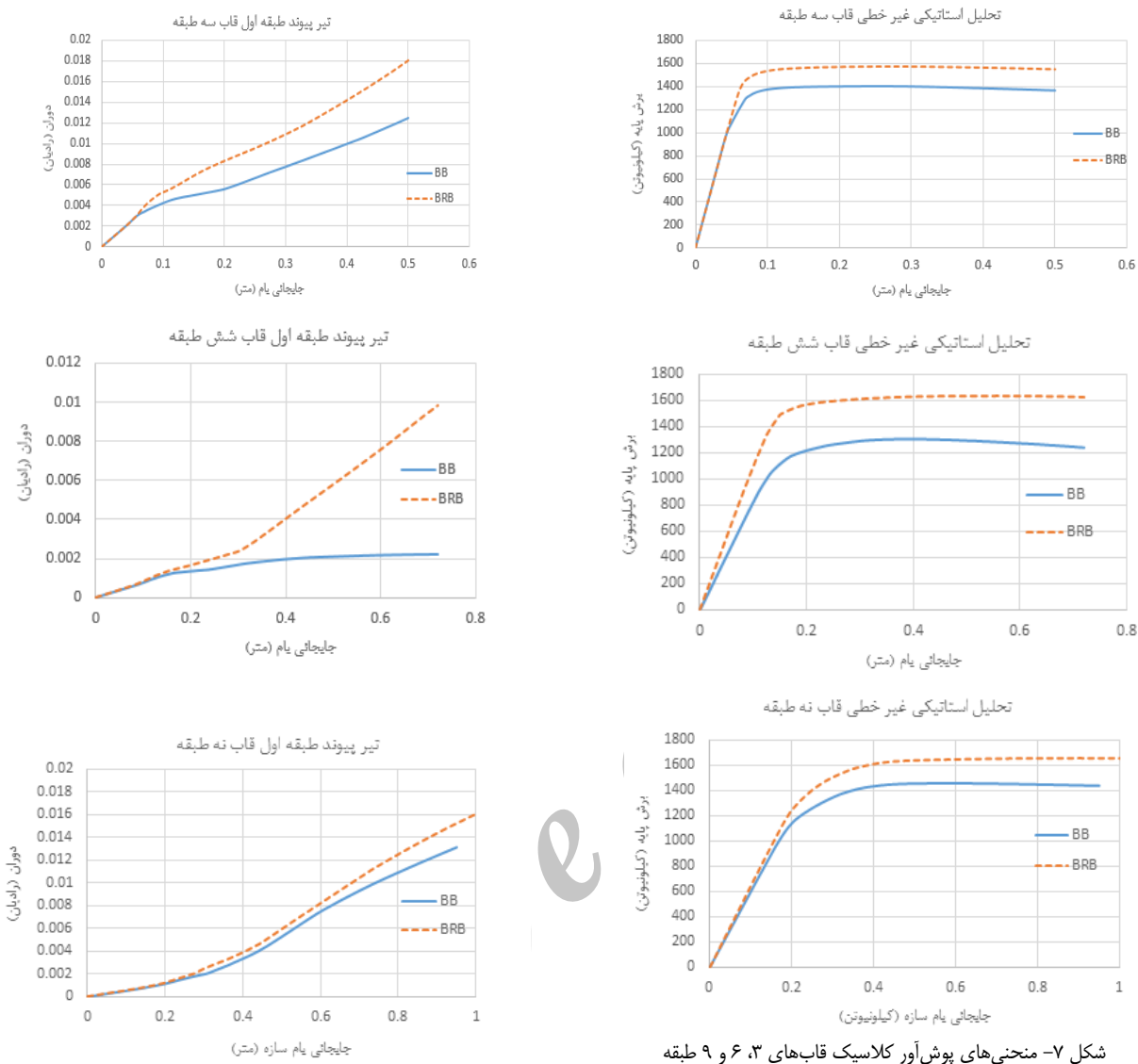
طبقات	مقاطع تیر	مقاطع مهاربند	مقاطع ستون
طبقه‌ی اول	H260	Box240x240x20	Box180x180x10
طبقه‌ی دوم	H260	Box240x240x20	Box160x160x10
طبقه‌ی سوم	H260	Box240x240x20	Box160x160x10
طبقه‌ی چهارم	H260	Box200x200x15	Box140x140x10
طبقه‌ی پنجم	H240	Box200x200x15	Box140x140x10
طبقه‌ی ششم	H240	Box180x180x12	Box140x140x10
طبقه‌ی هفتم	H240	Box180x180x12	Box120x120x10
طبقه‌ی هشتم	H220	Box150x150x10	Box120x120x10
طبقه‌ی نهم	H220	Box150x150x10	Box120x120x10

جدول ۷- مشخصات مقاطع برای سازه نه طبقه با مهاربندهای کمانش تاب

طبقات	مقاطع تیر	مقاطع مهاربند	مقاطع ستون
طبقه‌ی اول	H260	Box180x180x15	Box240x240x20
طبقه‌ی دوم	H260	Box160x160x15	Box240x240x20
طبقه‌ی سوم	H260	Box160x160x15	Box240x240x20
طبقه‌ی چهارم	H260	Box140x140x12	Box200x200x15
طبقه‌ی پنجم	H240	Box140x140x12	Box200x200x15
طبقه‌ی ششم	H240	Box140x140x12	Box180x180x12
طبقه‌ی هفتم	H240	Box120x120x12	Box180x180x12
طبقه‌ی هشتم	H220	Box120x120x12	Box150x150x10
طبقه‌ی نهم	H220	Box120x120x12	Box150x150x10

شکل ۳ قاب‌های کناری ۳، ۶ و ۹ طبقه‌ی مدل شده در نرم‌افزار SeismoStruct را نشان می‌دهد.



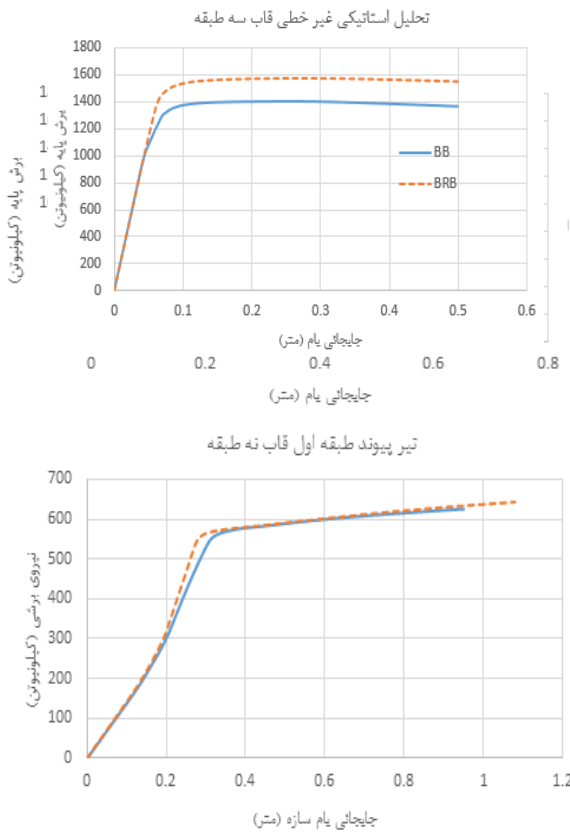


شکل ۷- منحنی های پوش آور کلاسیک قاب های ۳، ۶ و ۹ طبقه

شکل ۸- دوران تیر پیوند- جلایجایی یام طبقه اول قاب های ۳، ۶ و ۹
طبقه تحت تحلیل استاتیکی غیر خطی

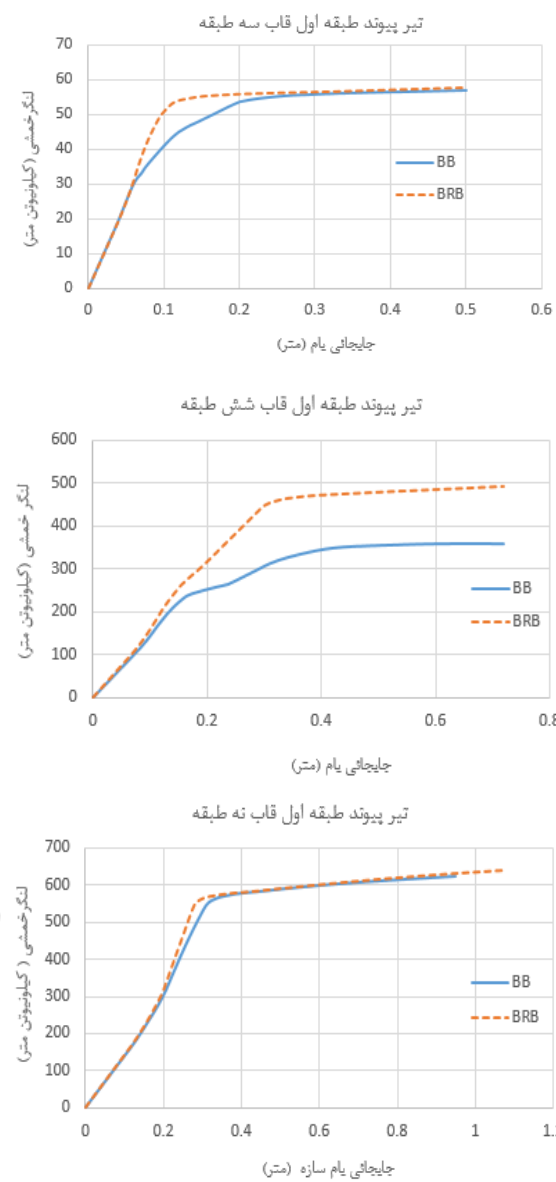
مطابق نمودارهای شکل ۸ تحت تحلیل استاتیکی غیر خطی، دوران تیر پیوند در قاب های با مهاربندهای کمانش تاب و بیشتر می باشد. به عنوان نمونه در انتهای تحلیل قاب ۳ طبقه، دوران تیر پیوند در قاب های با مهاربندهای کمانش تاب و کمانش پذیر به ترتیب 0.0122 و 0.0118 رادیان می باشد که کاربرد مهاربندهای کمانش تاب باعث افزایش $47/5$ درصدی دوران تیر پیوند شده است. دوران تیر پیوند در قاب ۶ طبقه برابر شده است و در قاب ۹ طبقه میزان این افزایش $23/1$ درصد می باشد. شکل ۹ منحنی های لنگر خمی تیر پیوند را برای سازه های مورد نظر و تحت تحلیل های استاتیکی غیر خطی نشان می دهد.

با توجه به نمودارهای شکل ۷ ملاحظه می گردد مقاومت جانبی حداقل قاب ۳ طبقه با مهاربندهای کمانش تاب و کمانش پذیر به ترتیب در حدود 1580 و 1390 کیلونیوتون است که کاربرد مهاربندهای کمانش تاب مقاومت جانبی قاب ۳ طبقه را 12 درصد افزایش داده است. میزان این افزایش مقاومت در قاب های ۶ و ۹ طبقه به ترتیب $39/9$ و $14/9$ درصد می باشد. به منظور مقایسه ای رفتار تیر پیوند در قاب های با مهاربندهای کمانش پذیر و کمانش تاب، برش، دوران و لنگر خمی تیر پیوند در طول پوش سازه ها استخراج شده است. شکل ۸ دوران تیر پیوند را در قاب های مختلف نشان می دهد.



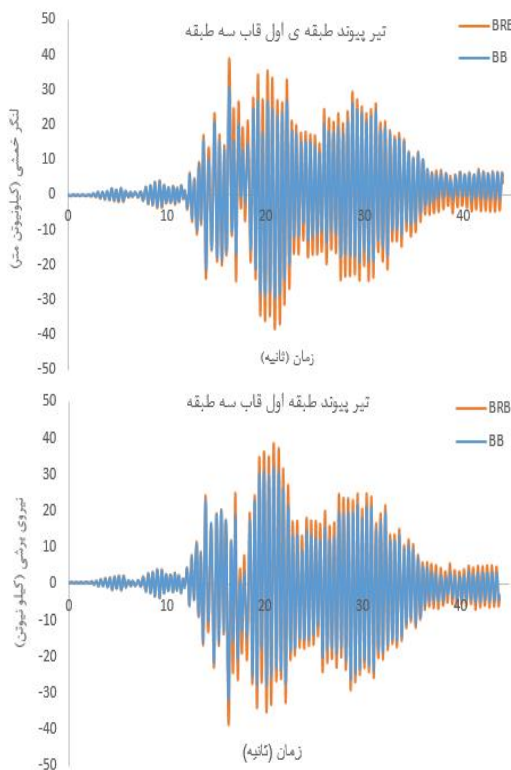
شکل ۱۰- برش تیر پیوند- جابجایی بام طبقه اول قابهای ۳ و ۶ و ۹ تحت تحلیل استاتیکی غیر خطی

مطابق شکل ۱۰ برش تیر پیوند طبقه اول قاب ۶ طبقه با مهاربندهای کمانش تاب تحت تحلیل استاتیکی غیر خطی بزرگتر از قاب با مهاربندهای کمانش پذیر می‌باشد و مقدار این افزایش در حدود ۵۳/۱ درصد می‌باشد. شکل ۱۱ منحنی‌های رفتار مهاربندهای کمانش تاب و کمانش پذیر را تحت تحلیل استاتیکی غیر خطی و بر حسب جابجایی بام نشان می‌دهند. این منحنی‌ها مربوط به طبقه اول سازه‌های مورد نظر می‌باشند و رفتار مشابه برای سایر طبقات مشاهده شده است. مطابق نمودارهای شکل ۱۱ مهاربند فشاری در قابهای با مهاربندهای کمانش تاب به دلیل عدم کمانش نیروی فشاری بیشتری تحمل کرده‌اند ولی رفتار مهاربندهای کششی مشابه است.

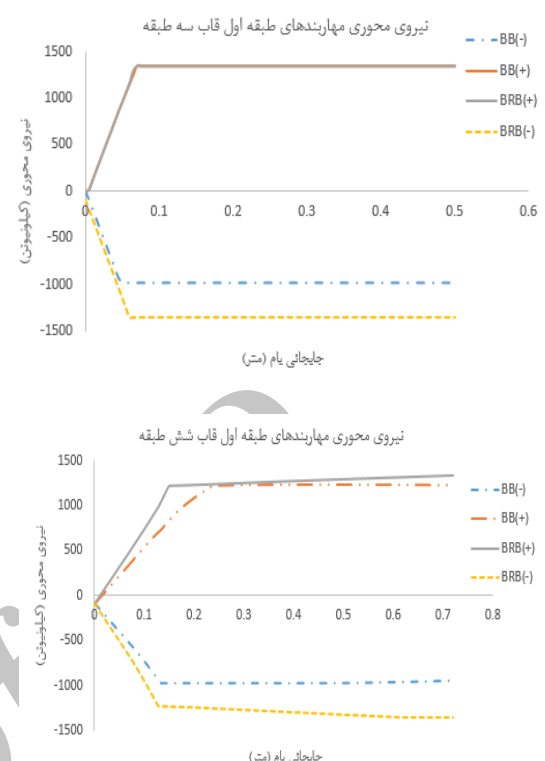


شکل ۹- لنگر تیر پیوند- جابجایی بام طبقه اول قابهای ۳ و ۶ و ۹ تحت تحلیل استاتیکی غیر خطی

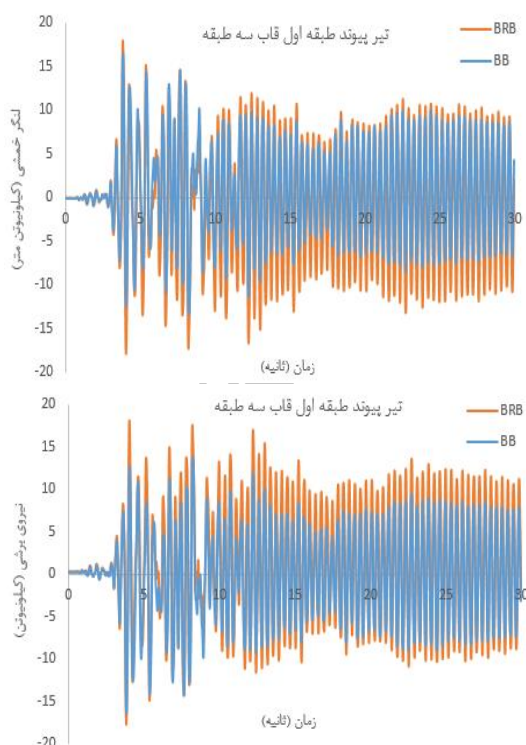
مطابق شکل ۹ لنگر تیر پیوند طبقه اول قاب ۶ طبقه با مهاربندهای کمانش تاب تحت تحلیل استاتیکی غیر خطی بیش از قاب با مهاربندهای کمانش پذیر می‌باشد. مقدار این افزایش در حدود ۳۸ درصد می‌باشد. در مورد قابهای ۳ و ۹ طبقه مقدار نهایی لنگر تیر پیوند اختلاف محسوسی ندارند، البته سختی خمی تیر پیوند در حالت قابهای با مهاربندهای کمانش تاب مقادیر بزرگتری را نشان می‌دهد. شکل ۱۰ منحنی‌های نیروی برشی تیر پیوند را برای طبقه اول سازه‌های مورد نظر و تحت تحلیل‌های پوش آور نشان می‌دهد.



شکل ۱۲- نمودار نیروی برشی و لنگر خمشی تیر پیوند طبقه اول قاب ۳ طبقه تحت زلزله لندرز

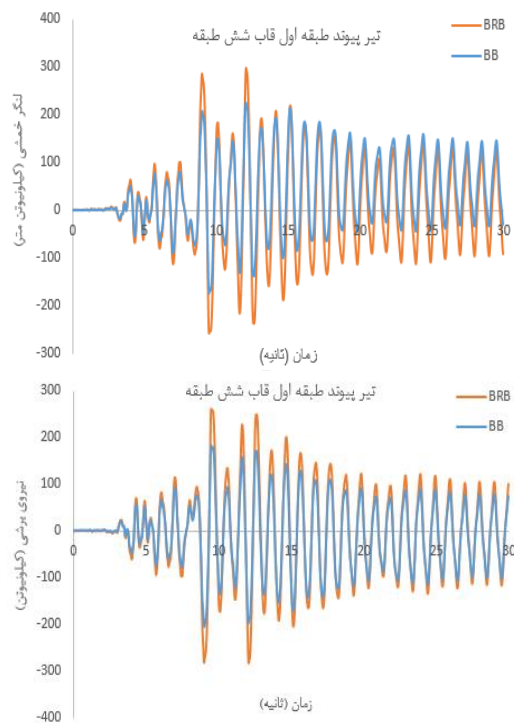


شکل ۱۱- رفتار مهاربندهای کمانش تاب و کمانش پذیر طبقه اول تحت تحلیل استاتیکی غیر خطی

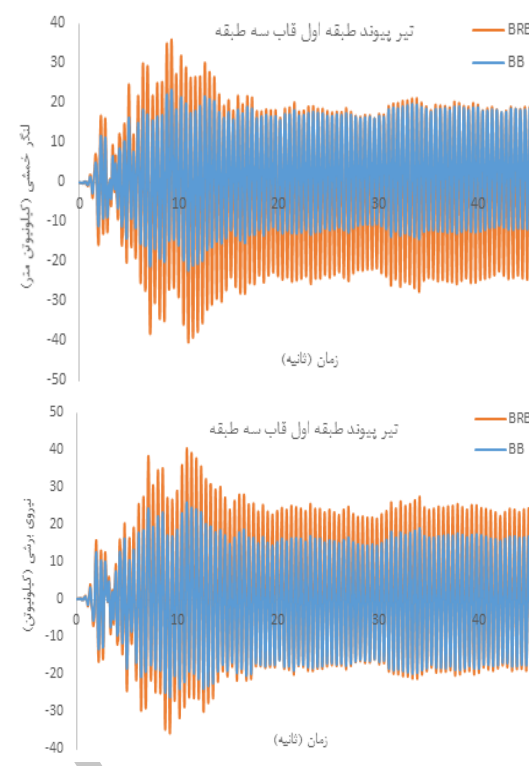


شکل ۱۳- نمودار نیروی برشی و لنگر خمشی تیر پیوند طبقه اول قاب ۳ طبقه تحت زلزله نورتریج

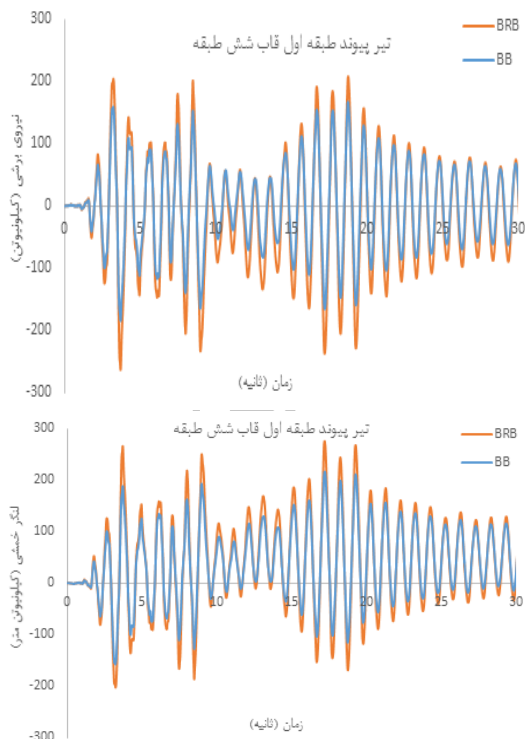
۲-۳- نتایج تحلیل‌های تاریخچه زمانی
با انجام تحلیل‌های تاریخچه زمانی تحت تحلیل‌های تاریخچه زمانی مقیاس شده، برش و لنگر خمشی تیر پیوند قاب‌های با مهاربندهای کمانش تاب (BRB) و کمانش پذیر (BB) بدست آمده است. اشکال ۱۳ الی ۱۸ نتایج مربوطه را تحت زلزله‌های مورد نظر نشان می‌دهند. مطابق اشکال ارایه شده، برش و لنگر خمشی تیر پیوند در قاب‌های با مهاربندهای کمانش تاب در مقایسه با قاب‌های با مهاربندهای کمانش پذیر بزرگتر می‌باشد. این موضوع در پاسخ‌های لرزه‌ای اوج مشهود است.



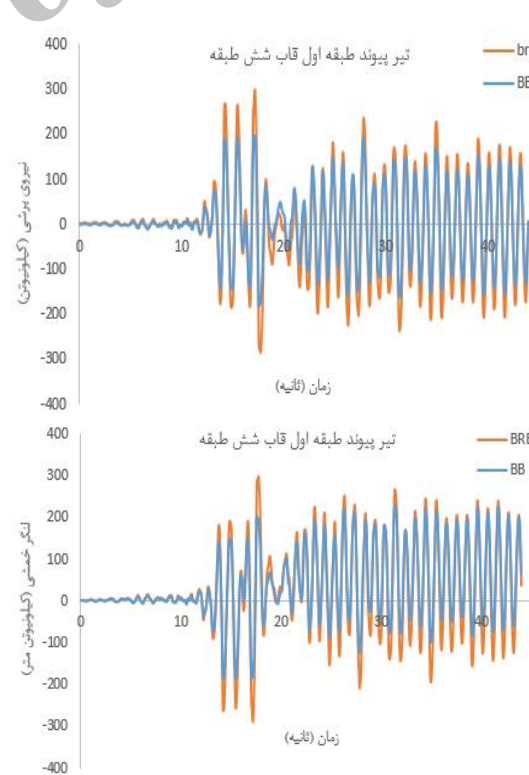
شکل ۱۶- نمودار نیروی برشی و لنگر خمی تیر پیوند طبقه‌ی اول قاب ۶
طبقه تحت زلزله‌ی نورتریج



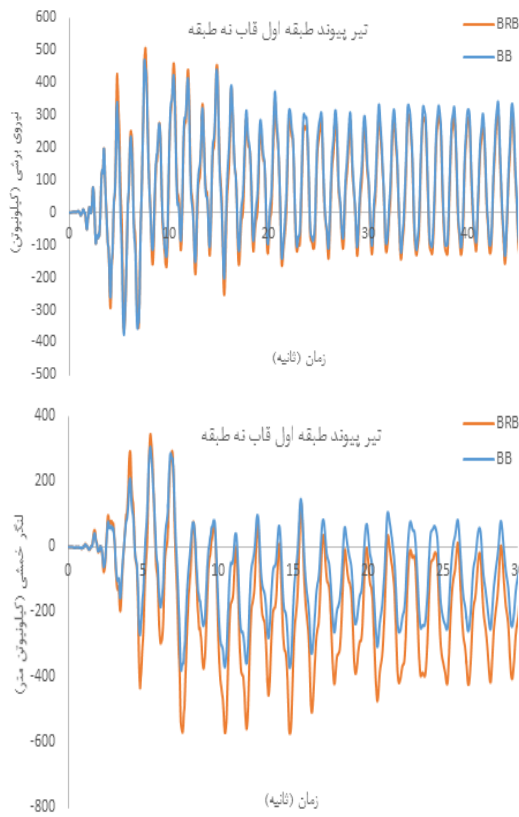
شکل ۱۴- نمودار نیروی برشی و لنگر خمی تیر پیوند طبقه‌ی اول قاب ۳
طبقه تحت زلزله‌ی سانفرناندو



شکل ۱۷- نمودار نیروی برشی و لنگر خمی تیر پیوند طبقه‌ی اول قاب ۶
طبقه تحت زلزله‌ی سانفرناندو



شکل ۱۵- نمودار نیروی برشی و لنگر خمی تیر پیوند طبقه‌ی اول قاب ۶
طبقه تحت زلزله‌ی لندز



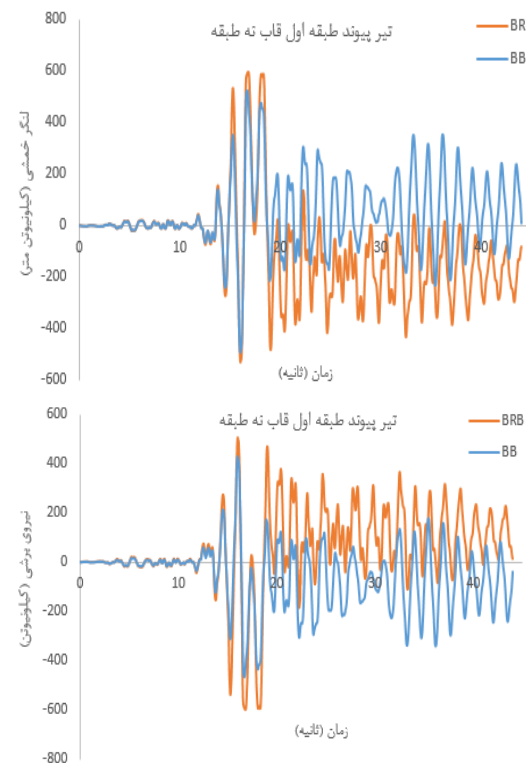
شکل ۲۰- نمودار نیروی برشی و لنگر خمسی تیر پیوند طبقه‌ی اول قاب ۹ طبقه تحت زلزله‌ی سانفرناندو

بر اساس نمودارهای فوق می‌توان نتایج حاصل را در جدول خلاصه و نتایج را مقایسه نمود. مطابق جدول ۱۰ الی ۱۵ حداکثر برش و لنگر تیر پیوند در قاب‌های ۳، ۶ و ۹ طبقه‌ی با مهاربندکمانش‌پذیر و کمانش تاب تحت ۳ زلزله ارایه شده است. مطابق جدول ۸ لنگر تیر پیوند قاب‌های مورد نظر با مهاربندهای کمانش‌پذیر تحت زلزله‌ی لندرز کوچکتر می‌باشد. در مورد قاب ۳ طبقه و تحت این زلزله، لنگر تیر پیوند ۷۶/۳ درصد مقدار مشابه قاب ۳ طبقه با مهاربندهای کمانش تاب ۶۵/۱ و می‌باشد. در مورد قاب ۶ طبقه و ۹ طبقه مقدار فوق معادل ۷۴/۸ درصد می‌باشد. همچنین ملاحظه می‌شود که مقادیر لنگر تیر پیوند با افزایش تعداد طبقات قاب افزایش قابل توجهی یافته است.

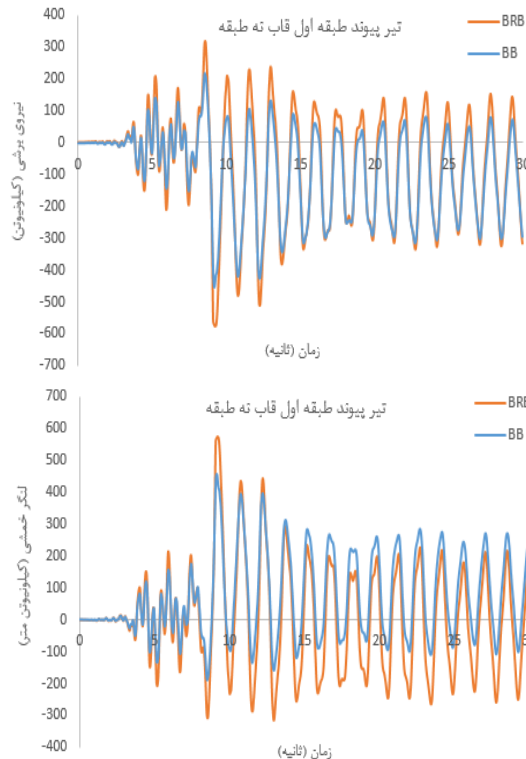
جدول ۸- حداکثر لنگر تیر پیوند طبقه‌ی اول قاب‌ها تحت زلزله‌ی لندرز

با مهاربندهای کمانش تاب	با مهاربندهای کمانش پذیر	قاب سه طبقه
۳۹/۱۰	۲۹/۸	قاب سه طبقه
۲۹۸/۵	۱۹۴/۵	قاب شش طبقه
۵۹۵/۹	۴۴۶/۲	قاب نه طبقه

بر اساس جدول ۹، تحت زلزله‌ی لندرز حداکثر برش تیر پیوند طبقه‌ی اول قاب‌های ۳، ۶ و ۹ طبقه با مهاربندهای کمانش تاب در مقایسه با کمانش‌پذیر به ترتیب ۵۱/۳، ۲۷/۵ و ۵۷/۷ درصد افزایش نشان می‌دهد.



شکل ۱۸- نمودار نیروی برشی و لنگر خمسی تیر پیوند طبقه‌ی اول قاب ۹ طبقه تحت زلزله‌ی لندرز



شکل ۱۹- نمودار نیروی برشی و لنگر خمسی تیر پیوند طبقه‌ی اول قاب ۹ طبقه تحت زلزله‌ی نورتریج

مقایسه با قاب‌های با مهاربندهای کمانش‌پذیر به ترتیب ۴/۴، ۷/۴، ۸/۴ و ۹/۴ درصد افزایش نشان می‌دهد.

جدول ۱۳- حداکثر برش تیر پیوند قاب‌ها تحت زلزله‌ی سانفراناندو

با مهاربندهای کمانش تاب	با مهاربندهای کمانش پذیر	قاب سه طبقه
۳۸/۷	۲۶/۰	قاب شش طبقه
۲۶۲/۸	۱۸۳/۲	قاب نه طبقه
۵۰/۷/۶	۴۵۳/۲	قاب نه طبقه

۴. نتیجه‌گیری

- با بررسی نمودارها و جداول ملاحظه می‌شود که مهار بند کمانش تاب باعث تکمیل مسیر نیرویی و انتقال نیرو به تیر پیوند شده و استهلاک انرژی بیشتری در تیر پیوند بوقوع می‌افتد. نتایج همچنین نشان می‌دهد که:
- تحت تحلیل‌های استاتیکی غیر خطی، مقاومت جانبی حداکثر قاب ۳ طبقه با مهاربندهای کمانش تاب و کمانش‌پذیر به ترتیب در حدود ۱۵۸۰ و ۱۳۹۰ کیلونیوتن بدست آمده است. به عبارتی کاربرد مهاربندهای کمانش تاب مقاومت جانبی قاب ۳ طبقه را ۱۲ درصد افزایش داده است. میزان این افزایش مقاومت برای قاب‌های ۶ و ۹ طبقه به ترتیب ۳۱/۹ و ۱۴/۹ درصد می‌باشد.
 - تحت تحلیل‌های استاتیکی غیر خطی، دوران تیر پیوند در قاب‌های با مهاربندهای کمانش تاب بیشتر بدست آمده است. به عنوان نمونه در انتهاهای تحلیل قاب ۳ طبقه، دوران تیر پیوند در قاب‌های با مهاربندهای کمانش تاب و کمانش‌پذیر به ترتیب ۰/۰۱۸ و ۰/۰۱۲۲ رادیان می‌باشد که کاربرد مهاربندهای کمانش تاب باعث افزایش ۴۷/۵ درصدی دوران تیر پیوند شده است. دوران تیر پیوند در قاب ۶ طبقه ۵ برابر شده است و در قاب ۹ طبقه میزان این افزایش ۲۳/۱ درصد می‌باشد.
 - تحت تحلیل‌های استاتیکی غیر خطی، لنگر تیر پیوند طبقه‌ی اول قاب ۶ طبقه با مهاربندهای کمانش تاب تحت تحلیل استاتیکی غیر خطی بیش از قاب با مهاربندهای کمانش‌پذیر می‌باشد. مقدار این افزایش در حدود ۳۸ درصد می‌باشد. در مورد قاب‌های ۳ و ۹ طبقه مقدار نهایی لنگر تیر پیوند اختلاف محسوسی ندارند.
 - تحت تحلیل‌های استاتیکی غیر خطی، برش تیر پیوند طبقه‌ی اول قاب ۶ طبقه با مهاربندهای کمانش تاب تحت تحلیل استاتیکی غیر خطی بزرگتر از قاب با مهاربندهای کمانش‌پذیر می‌باشد و مقدار این افزایش در حدود ۵۳/۱ درصد می‌باشد. در مورد نتایج قاب‌های ۳ و ۹ طبقه مقدار نهایی برش تیر پیوند اختلاف محسوسی مشاهده نگردید.
 - تحت تحلیل‌های تاریخچه زمانی، برش تیر پیوند در قاب‌های با مهاربندهای کمانش تاب مقدار بزرگتری داشته است. به عنوان نمونه تحت زلزله‌ی نورثربیج در قاب ۳ طبقه با مهاربندهای کمانش تاب، برش تیر پیوند طبقه‌ی اول ۱۵/۹ درصد افزایش نشان داد. همچنین در مورد قاب ۶ طبقه به عنوان نمونه تحت زلزله‌ی لندرز ۵۱/۳ درصد و قاب ۹ طبقه تحت زلزله‌ی سانفراناندو ۱۲/۰ درصد افزایش نشان داد.

جدول ۹- حداکثر برش تیر پیوند قاب‌ها تحت زلزله‌ی لندرز

با مهاربندهای کمانش تاب	با مهاربندهای کمانش پذیر	قاب سه طبقه
۳۸/۷	۳۰/۴	قاب شش طبقه
۲۹۸/۰	۱۹۶/۹	قاب نه طبقه
۵۷۹/۱	۴۵۶/۸	قاب نه طبقه

مطابق جدول ۱۰ لنگر تیر پیوند قاب‌های با مهاربندهای کمانش تاب در مقایسه با قاب‌های با مهاربندهای کمانش‌پذیر تحت زلزله‌ی نورثربیج در قاب‌های ۳، ۶ و ۹ طبقه به ترتیب ۱۲/۱، ۲۹/۶ و ۲۵/۲ درصد افزایش داشته است.

جدول ۱۰- حداکثر لنگر تیر پیوند طبقه‌ی اول قاب‌ها تحت زلزله‌ی نورثربیج

با مهاربندهای کمانش تاب	با مهاربندهای کمانش پذیر	قاب سه طبقه
۱۸/۴	۱۶/۴	قاب شش طبقه
۲۸۳/۲	۳۱۸/۴	قاب نه طبقه
۵۷۳/۰	۴۵۷/۶	قاب نه طبقه

مطابق جدول ۱۱ حداکثر برش تیر پیوند طبقه‌ی اول تحت زلزله‌ی نورثربیج در قاب‌های ۳، ۶ و ۹ طبقه با مهاربندهای کمانش تاب در مقایسه با قاب‌های با مهاربندهای کمانش‌پذیر به ترتیب ۱۵/۹، ۴۰/۱ و ۲۵/۲ درصد افزایش نشان می‌دهد.

جدول ۱۱- حداکثر برش تیر پیوند قاب‌ها تحت زلزله‌ی نورثربیج

با مهاربندهای کمانش تاب	با مهاربندهای کمانش پذیر	قاب سه طبقه
۱۸/۹	۱۶/۳	قاب شش طبقه
۲۸۱/۱	۲۰۰/۶	قاب نه طبقه
۵۶۴/۴	۴۵۰/۵	قاب نه طبقه

بر اساس جدول ۱۲ تحت زلزله‌ی سانفراناندو حداکثر لنگر قاب‌های ۳، ۶ و ۹ طبقه با مهاربندهای کمانش تاب در مقایسه با کمانش‌پذیر به ترتیب ۰/۰۸۱۰، ۰/۰۳۴۰ و ۰/۰۴۶۰ درصد افزایش نشان می‌دهد.

جدول ۱۲- حداکثر لنگر تیر پیوند طبقه‌ی اول قاب‌ها تحت زلزله‌ی سانفراناندو

با مهاربندهای کمانش تاب	با مهاربندهای کمانش پذیر	قاب سه طبقه
۲/۴۰	۲۲/۲	قاب شش طبقه
۷/۲۷۵	۷/۲۰۵	قاب نه طبقه
۶/۵۶۳	۸/۳۸۵	قاب نه طبقه

مطابق جدول ۱۳ حداکثر برش تیر پیوند طبقه‌ی اول تحت زلزله‌ی نورثربیج در قاب‌های ۳، ۶ و ۹ طبقه با مهاربندهای کمانش تاب در

- [12] Maurya A, Eatherton M.R., Ryota Matsui. R., Florig S.H. "Experimental investigation of miniature buckling restrained braces for use as structural fuses" *Journal of Constructional Steel Research*, Volume 127, December 2016, Pages 54-65.
- [13] Shen J., Seker O., Akbas. B., Seker. P., Momenzadeh S.B., Faytarouni. M. "Seismic performance of concentrically braced frames with and without brace buckling" *Engineering Structures* Volume 141, 15 June 2017, Pages 461- 481.
- [14] Ozcelik. R., Dikiciasik. E., Erdil. F. "The development of the buckling restrained braces with new end restraints" *Journal of Constructional Steel Research*, Volume 138, November 2017, Pages 208- 220.
- [15] Canxing. Q., Yichen. Z., Han. L., Bing Q., Hetao Hou., Li T. "Seismic performance of Concentrically Braced Frames with non- buckling braces" *Engineering Structures*, Volume 154, 1 January 2018, Pages 93- 102.
- [16] Lai J-W, Mahin S.A. "Experimental and Analytical Studies on the Seismic Behavior of Conventional and Hybrid Braced Frames" *PEER* 2013.

- تحت تحلیل‌های تاریخچه زمانی، لنگر خمشی تیر پیوند در قاب‌های با مهاربندی‌های کمانش تاب مقادیر بزرگتری از خود نشان داده است. به عنوان نمونه قاب ۳ طبقه تحت زلزله‌ی سانفرناندو ۸۰,۰ درصد، قاب ۶ طبقه تحت زلزله‌ی لندز ۵۳/۴ درصد افزایش و قاب ۹ طبقه تحت زلزله‌ی نورث‌ریج ۲۵/۲ درصد بیشتر می‌باشد.

منابع

- [1] Popov, E.P., Kasai, K., Engelhardt, M.D. (1987), "Advances in design of eccentrically braced frames". *Earthquake Spectra*, Vol 3, No. 1, pp. 43- 55.
- [2] Paul RICHARDS, and Chia- ming UANG, DEVELOPMENT OF TESTING PROCOTOL FOR LINKS IN ECCENTRICALLY BRACED FRAMES. 13th World Conference on Earthquake Engineering No. 2795.2004.
- [3] Jeffrey W.Berman, Michel Bruneau, Experimental and analytical investigation of tubular link for eccentrically braced frames. 0141- 0296, Elsevier 2007.
- [4] AISC., Seismic provisions for structural steel buildings. 2002: American Institute of Steel Construction.
- [5] Watanabe, A., et al. Properties of brace encased in buckling- restraining concrete and steel tube. in Proceedings of Ninth World Conference on Earthquake Engineering. 1988.
- [6] Chen, C.-C., Recent advances of seismic design of steel buildings in Taiwan. International Training Programs for Seismic Design of Building Structures, 2002.
- [7] Mahin, S., et al. Seismic performance of buckling restrained braced frame systems. in 13th World Conference on Earthquake Engineering. 2004.
- [8] Piedrafita. D., Cahis. X., Simon. E., Comas. E. "A new modular buckling restrained brace for seismic resistant buildings" *Engineering Structures*. Volume 56, November 2013, Pages 1967- 1975.
- [9] Gu. Q., Zona. A., Peng Y., Dall'Asta. A. "Effect of buckling- restrained brace model parameters on seismic structural response" *Journal of Constructional Steel Research*, Volume 98, July 2014, Pages 100- 113.
- [10] Palmer K.D., Christopoulos A.S., Lehman. D.E, Roeder. C.W " Experimental evaluation of cyclically loaded, large- scale, planar and 3- d buckling- restrained braced frames" *Journal of Constructional Steel Research* Volume 101, October 2014, Pages 415- 425.
- [11] Deylami A., Mahdavipour M.A "Probabilistic seismic demand assessment of residual drift for Buckling- Restrained Braced Frames as a dual system" *Structural Safety*, Volume 58, January 2016, Pages 31- 39.

Comparing the Performance of Short Link Beam in Buckling Unrestrained and Restrained Eccentric Braced Frames under non-linear Static and Dynamic Analysis

Arash Hossein Shahi

Master Student Of Structure, Islamic Azad University, Tafresh branch, Tafresh, Iran

Aboozar Saleh

Asistant professor, civil engineering department, Islamic Azad University, Professor Hesabi Branch, Tafresh, Iran

Abstract

According to the fact that our country is located in one of the seismic zones of the world, the possibility of strong earthquakes in different regions is inevitable. Over the past years, researchers have proposed different systems for absorbing and dissipating earthquake energy in structures, which, in this regard, unrestrained buckling braces have been focused by engineers. The purpose of this research is to examine the behavior of short link beam in steel frames with buckling and non-buckling braces. For this purpose, three structures, 3, 6 and 9 stories with buckling and non-buckling braces are designed according to valid regulations and all seismic rules have also been controlled. Then, their lateral two-dimensional frame is modeled with eccentric braces on the SeismoStruct 2016 software. In order to investigate the behavior of the link beam, nonlinear static and time history analysis have been used for three far-field earthquakes and type 2 soil. In the following, the results of the shear force and the bending moment of the link beam and the nonlinear static analysis curves of the frames in two models with buckling and non-buckling braces are compared. The results of nonlinear static analysis show that the moment and shear in the non-buckling link beam can be up to 38 and 50 percent more than the frame with buckling braces, respectively. Non-linear time history analysis shows a higher growth of link beam forces in a frame with non-buckling braces than nonlinear static analysis.

Keywords: Non-Buckling Braces, Link Beam, Nonlinear Static Analysis, Time History Analysis, SeismoStruct 2016 Software